

载流子运输现象

2019年12月6日 18:42

0. 导电率.

- 这一章的主要内容就是研究热平衡状态下的载流子运动. 理论上来讲, 半导体中, 带洞的载流子运动的主要有三种.
- 1) 声速运动, 由电场力引起运动.
 - 2) 扩散运动, 由浓度梯度引起的运动.
 - 3) 温度所影响的运动由于半导体器件不断缩小, 已经可以忽略3.

1. 载流子的漂移运动.

1.1. 电场力模型

由于有效质量的概念, 可以仅进行专注于经典的电场理论和经典力学, 不再考虑有效质量.

$$\vec{J} = \rho \vec{v}$$

由于我们对半导体基态可以看成二能级, 所以这里可以不使用向量.

对于经典力学

$$F = ma \rightarrow m_*^P \cdot a = eE \\ m_*^n \cdot a = -eE$$

我们先考虑室温.

$$m_*^P \frac{dv}{dt} = eE$$

$$\frac{dv}{dt} = \frac{eE}{m_*^P}$$

代入边界条件, 初期时速度为0.

$$于是 \quad v = \frac{eE}{m_*^P} \cdot t$$

随着时间, 速度不断增大! 现在代入初期

由此看出我们的主要关心还是质量和电场的关系, 所以我们定义一个新的概念, 移动. 那么 $m = \text{常数}$, 这里 $v_{\text{dp}} = \frac{et}{m_*^P}$.

于是 $\Delta = e p v_{\text{dp}} \cdot E$.

下面再来分别讨论迁移速率和电导率.

1.2. 迁移率.

在半导体中, 速度的变化是非常复杂的. 上面的 $v = \frac{eE}{m_*^P}$ 只考虑了经典力学公式, 而在半导体, 布子和室温, 还会受到碰撞和辐射的碰撞. 称为声子散射. 和杂质声子的库仑力作用, 称为电离声子散射. 这两种都是碰撞. 所以限定了我们研究不能取到无穷.

根据热力学, 单粒子的平均热运动初动能为 $\frac{1}{2}kT$. 分别是平动能 $\frac{1}{2}kT$, 旋转动能 $\frac{1}{2}kT$, 振动能 $\frac{1}{2}kT$. 载流子会发射声子和吸收声子转移能量. 若处于热平衡状态, 单品热能能随温度变化, 当载流子的速度超过 v_{dp} 时, 将大于平均动能, 取为热载流子. 将热量传递给晶格. 从而失去动能. 最后稳定于 v_{dp} . 这个即为速度取下限.

称为饱和速度. 由于漂移速度通常远小于热运动, 漂移速度要达到饱和速度需要很大的外加场.

所以, 在强电场区, 温度起主导. 我们主要讨论温度和碰撞. 对应到公式中即为影响系数.

在强电场区, 漂移运动占主导. 我们主要讨论电场对迁移率的影响. 公式中主要影响系数.

1.2.1. 静电场区.

漂移速度这个与热运动速度, 我们可以忽略漂移速度对碰撞的影响. 热运动是对于大量粒子来说的. 所以进修正的根本点. 该平均碰撞时间为 τ_{cp} . 假设碰撞区厚度为0, 则载流子的平均速度为(室温).

$$v_d = \frac{1}{2} \cdot \frac{e^2 \rho P}{m_*^P} \cdot E, \text{ 对表进行实验结果进行修正. } \text{ 即 } v_d = \frac{e^2 \rho P}{m_*^P} \cdot E.$$

所以迁移率为 $\frac{e^2 \rho P}{m_*^P}$.

温度会影响漂移速度. 从而影响 v_d .

1.2.1.1. 声子散射(声子散射)

漂移中散射的能量交换以声子. 为单位. 同时又称声子散射. 由于系统中声子的数量与温度有关. 因为温度过高, 声子振动频率越高, 效果也就越多. 即声子数目越多. 散射就越明显.

即 $T \uparrow \tau_{\text{cp}} \downarrow v_d \downarrow$. 根据散射理论.

不仅由声子引起迁移率为 v_d , 则 $v_d \sim T^{-\frac{3}{2}}$

1.2.1.2. 用高斯散射.

这是由于库仑力作用. 温度越大, 载流子的热运动越剧烈, 速度就越大. 当速度大于声子时, 则不容易发生碰撞. 更多是错过.

即 $T \uparrow \tau_{\text{cp}} \uparrow v_d$. 根据散射理论. $v_d = \frac{T^{+\frac{3}{2}}}{N_T}$.

$N_T = N_{\text{d}} + N_{\text{n}}$ 第二步由高斯散射公式. 温度越大, 散射反而变强.

更多是放过.

即 I 个, τ_{up} 个, n_i 个. 根据散射理论, $\tau_{up} = \frac{I^{1+\frac{3}{2}}}{N_I}$.
 $N_I = N_{d^+} + N_a$. 本节考虑杂质浓度. 浓度越大, 散射就越强...

1.2.1.3 结合两者.

dI 时间, 碰撞次数为 $\frac{dt}{\tau}$, 其两种散射相互独立, 则碰撞次数等于两者之和.

$$\frac{dt}{\tau} = \frac{dt}{\tau_{up}} + \frac{dt}{\tau_{sc}}$$

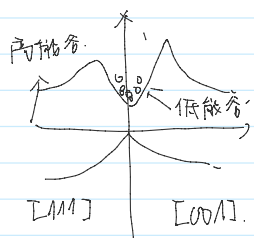
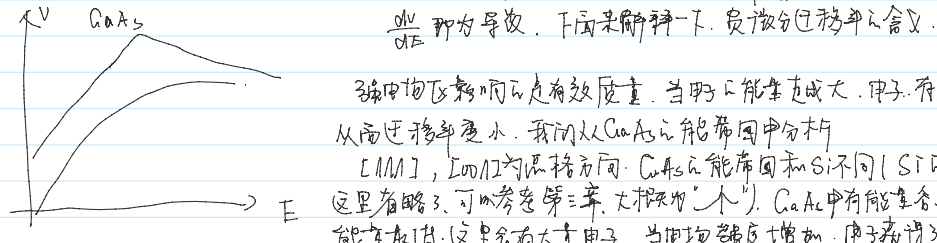
约去 dt , 代入迁移率公式

$$\frac{1}{\tau} = \frac{1}{\tau_{up}} + \frac{1}{\tau_{sc}}$$

和导体阻抗形式相同.

1.2.2. 强电场区.

Si 和 GaAs 中空穴在强电场区中达到饱和速度后速度几乎保持恒定, 而 GaAs 中漂移速度更快更复杂
在 V-I 曲线中, 迁移率有两种形式: 1) 由斜率 $\frac{1}{\tau}$; 2) 由积分迁移率 G .



$$\frac{1}{m_s} = \frac{1}{(n/2)^2} \cdot \frac{\partial^2 E}{\partial k^2}$$

从公式中可以发现, $E - k$ 曲线上升的越快, m_s 越小. $\frac{d^2 E}{dk^2}|_{\text{高能谷}} < \frac{d^2 E}{dk^2}|_{\text{低能谷}} \Rightarrow m_w|_w > m_h|_h$.

1.3. 速率常数.

之前总结了, 补偿半导体中: $J = e(-un \cdot n + up \cdot p)E = CE$.

$$p = \frac{1}{S} = \frac{1}{e(un + up)}$$

$$p = \frac{p_L}{A}. (这是欧姆定律, 可以用扩散系数表示电阻).$$

对于 n 型或 p 型半导体, 通常有一种掺杂深度分布.

则 $S \approx eup_n$ 或 eup_p . 或杂质全部电离时 $G = eup \cdot Na$ 或 $eun \cdot Nd$.

1.4. 例题.

二极管在笔记中都不涉及这个. 但是这里例外. 这一年开始, 已经具有较纯的应用性. 所以需要将理论和实验相结合. 例题更能说明一些工程结论.

[例 1] 计算在已知电场强度下的漂移速度密度.

$T=300K$ 时, GaAs 的掺杂浓度为 $N_d=0$, $N_a=10 \text{ cm}^{-3}$. 设杂质全部电离, 电子和空穴的迁移率为 $un=8500 \text{ cm}^2/\text{V}\cdot\text{s}$, $up=400 \text{ cm}^2/\text{V}\cdot\text{s}$. 若外加电场强度 $E=10 \text{ V/cm}$. 求漂移速度密度.

解.

$$J = e \cdot I \cdot un \cdot n + up \cdot p] E, 即求 n, p.$$

$$n = \frac{N_d - N_a}{2} + \sqrt{\left(\frac{N_d - N_a}{2}\right)^2 + h^2} \approx 10^{16} \text{ cm}^{-3}$$

$$p = \frac{n_i^2}{h} = \frac{(1.8 \times 10^{16})^2}{10^{16}} = 3.24 \times 10^{-4} \text{ cm}^{-3}$$

$$\text{代入求 } J \approx eunNdE = 136 \text{ A/cm}^2$$

[注] 这个例子说明: 漂移电流密度基本取决于多数载流子. 且在半导体上加很大的电场就可以获得很大的漂移电流密度.

[例 2] 已知某段补偿半导体的导电类型和电导率, 计算掺杂程度和多数载流子的浓度.

已知 $T=300K$ 时某段补偿型 Si 的电导率为 $\sigma = 16 (\mu\text{-cm})^{-1}$, 原子杂质浓度为 $N_a=10^{17} \text{ cm}^{-3}$. 求施主杂质浓度和电子迁移率.

此题和例 1 是一个对称型问题.

解

$$G = e(un \cdot n + up \cdot p)$$

$$\text{忽略 } \frac{n_i^2}{N_d - N_a}$$

$$G = eun \cdot (N_d - N_a)$$

由于迁移率和 $N_d + N_a$ 一进温度无关, 所以这里只能从一个阶方程求两个根. 因为这里前面并不知道 un 和 N_d 什么关系

$$\text{设 } \frac{n_i}{N_{d-N_a}} =$$

$$Q = e Un \cdot (N_d - N_a)$$

由于迁移率和 $N_d + N_a$ 的浓度有关，所以这里只能从一个一阶方程求两个根。因为这里我们不知道 eUn 和 $N_d - N_a$ 的关系式，但我们知道他们是一对对应的。

反查查表得到 $N_d = 3.5 \times 10^{17} \text{ cm}^{-3}$, $U_n \approx 400 \text{ cm}^2/V \cdot s$, $G = 16 (\text{A} \cdot \text{cm})^{-1}$.

[注] 由此例可以看出，半导体中导电材料的迁移率比载子浓度的规律要复杂。

[例3] 设计一个满足给定电场和栅流密度要求的半导体电阻器。

$T = 300 \text{ K}$ 时半导体 Si 施主杂质掺杂程度为 $N_d = 5 \times 10^{17} \text{ cm}^{-3}$ 。现掺入杂质杂质以形成 P 型补掺杂质。增加栅极电压 V_g 为 10 V ，外加电场为 5 V 时栅流密度为 $J = 50 \text{ A/cm}^2$ 。

■ 解：

10 kV 电压上加 5 V 电压时电流为

$$I = \frac{V}{R} = \frac{I}{10} = 0.5 \text{ mA}$$

如果栅流密度为 $J = 50 \text{ A/cm}^2$ ，则栅极面积为

$$A = \frac{I}{J} = \frac{0.5 \times 10^{-3}}{50} = 10^{-5} \text{ cm}^2$$

不考虑 $E = 100 \text{ V/cm}$ ，可得栅极长度为 $L = \frac{V}{E} = 5 \times 10^{-2} \text{ cm}$ 。

由式 (1.22b) 可知半导体的电导率为

$$G = \frac{L}{RA} = \frac{5 \times 10^{-2}}{(10^4)(10)} = 0.5 \text{ (A} \cdot \text{cm})^{-1}$$

从而 $\sigma \approx e n p \cdot p = e n p (N_d - N_a)$ 和电导率一样。

$$\sigma = 0.4 \Omega^{-1}$$

2. 载流子扩散。

在模电基础中我们已经了解到载流子的扩散运动。PN 外加正向电压将使扩散加剧。
这一节我们将简单地定量分析。

2.1. 扩散电流密度。

实际上，热力学中已经对粒子的扩散运动进行了定量分析。“圣经”教材中简要构建了一个一维模型，大体上也说明了这个结论（这里不再多余描述，简单说明一下）。

(1) 为什么考虑 $x(-l)$ 和 $x(l)$ 为扩散区：作者也说明最后的结论且中间论点由于对称性，性质和 $x(-l)$, $x(l)$ 为点的结论是通用的。

(2) 为什么假设扩散浓度是线性的？因为载流子的平均自由程非常小，可以近似成线性的。而且作者用了泰勒展开，也说明了这个结论。

从热力学角度去讨论，阿道夫·菲克于 1855 年提出菲克定律，描绘了扩散浓度的关系。

菲克定律包括两个内容。

(1) 在单位时间内通过垂直于扩散方向的单位截面处的扩散物质流量（称为扩散通量，Diffusion Flux, J ）与该截面处浓度梯度成正比。

(2) 在非稳态扩散过程中，在距离 x 处，浓度随时间的变化率等于该处的扩散速率随距离的变化率。

这里主要用到第一定律，即

$$J = \frac{dm}{A dt} = -D \frac{dc}{dx}$$

c 是浓度， D 为扩散系数，通常表示的方向是浓度梯度的降低浓度，如果逆之维

$$J = -D \nabla c$$

由于载流子带有电荷，我们讨论的扩散系数也主要是电荷密度。

另外，对于电子， $J_e = e D_n \frac{dn}{dx}$ ，对于空穴， $J_h = e D_p \frac{dp}{dx}$ 。

$$J_n |_{\text{df}} = e D_n \frac{dn}{dx}$$

$$J_p |_{\text{df}} = -e D_p \frac{dp}{dx}$$

电子的电流方向和扩散方向相反，而空穴的扩散方向相同。

扩散到三维中。

$$J_n |_{\text{df}} = e D_n \nabla n, \quad J_p |_{\text{df}} = e D_p \nabla p$$

2.2. 差分密度。

进电流密度即为漂移电流加上扩散电流。

$$J = e Un n E + e n p \cdot p E + e D_n \frac{dn}{dx} - e D_p \frac{dp}{dx}$$

对于二维：

$$J = e \mu_n E + e \mu_p D - e D_p p$$

由于漂移运动与扩散运动的影响，扩散理论也要到平均自由程（即平均碰撞次数有关）为止，它将扩散系数和扩散系数之间存在一定的关系。在末极化理论基础上，我们已经了解到，有时候也需要考虑上面的这一项即可。

3. 扩散梯度分布。

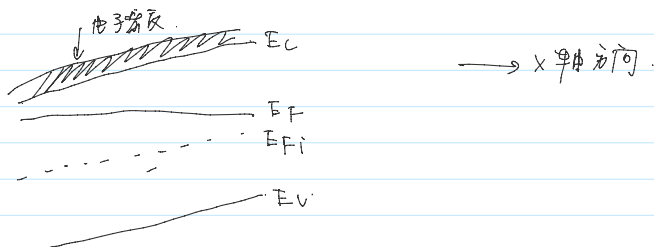
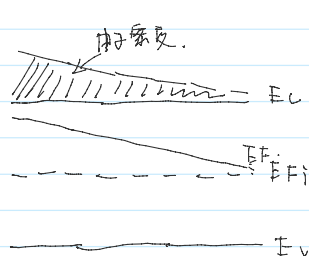
在平衡半导体中，最后讨论在补偿半导体中，费米能级和掺杂浓度之间的关系。

$$E_C - E_F = kT \ln \left(\frac{N_c}{N_A - N_D} \right) \quad \text{或} \quad E_F - E_V = kT \ln \left(\frac{N_V}{N_A - N_D} \right)$$

也介绍了有肖特基势垒。

如果能级处在半导体中要形成，那么在一个非均匀掺杂的非平衡半导体中，假设完全电离。

初始状态：



3.1 感生电场。

首先我们来讨论他的感生电场，和PN结中的感生电场原理类似，当电子随着浓度差运动扩散时，施主杂质离子并不发生移动，所以会产生一个反向的电场阻止运动，这个电场将会阻止电子扩散，当达到平衡时，电场和扩散达到平衡。（并不是没有浓度差）但是完全电离的情况下，扩散载流子浓度和掺杂浓度相比差别不大。

电场中对于电子动能降低（电子速度变小），电子动能为 $E_F - E_Fi$ ，那么杂质原子将电子动能从半价费米能级提高到了费米能级，因为费米能级表中一个含义就是电子占据此能级的概率是 $\frac{1}{2}$ ，所以这里也有统计上半价能级的含义。

那么电场为

$$\phi = +\frac{e}{e} (E_F - E_Fi)$$

一维下感生电场定义为：这里只对 E_Fi 有效，因为 E_F 已经是常数。

$$Ex = -\frac{d\phi}{dx} = \frac{1}{e} \frac{d(E_Fi)}{dx}$$

在平衡的情况下，我们已经推导出 E_F 和 E_Fi 的关系

$$E_F - E_Fi = kT \ln \left(\frac{N_D}{n_i} \right)$$

$$E_Fi - E_F = kT \ln \left(\frac{N_D}{n_i} \right)$$

在准中性条件下，可以假设完全电离， $n_i \approx N_D$ 。

$$E_F - E_Fi = kT \ln \left[\frac{N_D(x)}{n_i} \right]$$

我们代入 Ex 。

$$Ex = -\frac{d\phi}{dx} = -\frac{d}{dx} \left(\frac{E_F - E_Fi}{e} \right) = -\frac{kT}{e} \frac{d}{dx} \left(\ln \frac{N_D(x)}{n_i} \right) = -\frac{kT}{e} \cdot \frac{n_i}{N_D(x)} \cdot \frac{dN_D(x)}{dx} = -\frac{kT}{e} \cdot \frac{N_D'(x)}{N_D(x)}$$

3.2. 电量补偿关系

我们在上节尾提及到 E_C 和扩散系数 D 之间存在关系，当时，我们认为他们都是碰撞，但在上图给出的非均匀掺杂半导体中，我们求得了感生电场，我们还单独研究了漂移和扩散的关系问题。

感生电场提供了漂移电流，扩散浓度差提供了扩散电流，当达到平衡时，系统的总电流密度为，在第一章指出，因此我们发现，感生电场中也包含了浓度差。

于是，我们可以用总电流为零出发，研究 n 和 D 之间的关系

$$J_n = 0 = e \cdot \mu_n Ex + e D_n \frac{dn}{dx}$$

由于是 n 型，忽略掉了杂质的电流动密度，集中讨论为 n 不影响，我们便假设 $n \gg N_D$ 。

我们于是可代入感生电场表达式

$$J_n = 0 = e \cdot N_D \cdot \mu_n \cdot -\frac{kT}{e} \cdot \frac{N_D'(x)}{N_D(x)} + e D_n N_D'(x)$$

$$= [-kT \mu_n N_D'(x) + e D_n N_D'(x)] = 0$$

$$\text{所以} \quad D_n = \frac{kT}{e} \mu_n \quad \rightarrow \quad \frac{D_n}{\mu_n} = \frac{kT}{e}$$

$$F_{\text{电场}} \cdot \text{扩散} \quad D_n = \frac{kT}{e} u_m \rightarrow \frac{D_n}{u_m} = \frac{kT}{e},$$

归结

$$J_p = 0 = e N_a u_p \cdot \frac{kT}{e} \frac{N_a'(x)}{N_a(y)} - e D_p N_a'(x)$$

$$\Rightarrow u_p k T N_a'(x) - e D_p N_a'(y) = 0$$

$$\rightarrow \frac{D_p}{u_p} = \frac{kT}{e}$$

这个关系叫做扩散因数的关系。

我们通过例题，用数据加深记忆：同一大体上给出他们之间的数量级关系。

[例1] 已知迁移率，求扩散系数。设下述时，迁移率为 $1000 \text{ cm}^2/\text{Vs}$

■ 归结

$$D = \frac{kT}{e} u = (0.025 \text{ F}) \cdot (1000) = 25 \cdot 10^{-9} \text{ cm}^2/\text{s}.$$

这里这个系数比材料无关，和浓度有关，浓度下迁移率大概是扩散系数的40倍。

4.

霍尔效应。

电和磁是密不可分的。麦克斯韦定律告诉我们，电流会产生磁场，而变化的电流会产生变化的磁场，从而产生变化的电场。那么电流和磁场对运动电荷同时施加的作用力会产生效应，这就是霍尔效应。

利用这个效应，我们可以做成兆欧探针或测半导体参数。

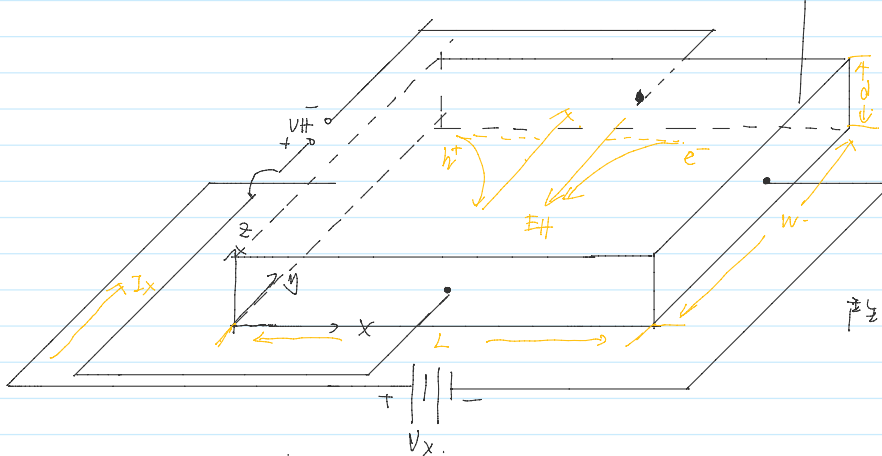
这里我们将主要研究在给定磁场的情况下，半导体霍尔效应。霍尔效应简单已经阐述了，这里不再赘述。

根据磁感应强度的定义：

垂直于电流方向的磁场力为

$$\vec{F} = q \vec{V} \times \vec{B}$$

我们来研究带电粒子在磁场作用下运动。首先给出示意图。



如图所示，通有电流 I 的半导体放在垂直于电流方向的磁场 B_z 中，指向纸外。所有的空穴和电子都受到磁场力的作用，受力方向均朝向一个方向。 P 型半导体中 ($p > n$)，在 $I=0$ 时表面会有正向电势差。 N 型半导体中会有负电荷的积累，即负电势差。所以会在 y 方向上产生感应电场直到达到平衡。

$$\vec{E} = q \vec{E}_x + q \vec{V} \times \vec{B} = 0.$$

$$q E_y = q V \times B_z.$$

我们把 y 方向的感应电场称为漂移电场。

产生漂移电场的漂移电压。

$$V_A = + E_y \cdot w. \quad \text{其中 } E_y \text{ 指 } y \text{ 方向, } V_A \text{ 指 } y \text{ 方向所表示的电压。}$$

如果半导体内都是空穴，则霍尔电压为正。所以 N 型半导体内，霍尔效应为负。

我们所得到的霍尔电压代入漂移电压。

$$V_H = V_x B_z / I.$$

$$V_x \text{ 称为漂移速度} \quad V_x = \frac{I_x}{e p} = \frac{I_x B_z}{e p (w d)}$$

$$\text{所以, } V_H = \frac{I_x}{e p w d} \cdot B_z \cdot w = \frac{I_x B_z}{e p d}. \quad \text{由以上式子得} \quad p = - \frac{I_x B_z}{e d V_H}.$$

我们可以很容易地从实验条件求出微观物理量。

对于 N 型来说

$$V_A = - \frac{I_x B_z}{n e d}.$$

所以漂移速度为

$$v = - \frac{I_x B_z}{e d V_H}.$$

如果我们知道浓度，就可以确定迁移率，利用电离常数不需要从物理的表达式中查表。

" ed VH.
我们如果确定了浓度，就可以根据电压移步，利用电流密度就不需要从库伦的表达式中查表。

$$J_x = e \rho u_p E_x$$

$$\Rightarrow \frac{I_x}{w d} = e \cdot \rho \cdot u_p \cdot \frac{V_x}{L}$$

$$u_p = \frac{I_x L}{e \rho V_x w d}$$

同理对于n型半导体

$$m_n = \frac{I_x L}{e n V_x w d}$$

注意利用这个公式必须统一及用米-千克-秒(MKS)才能得到正确的结果。